Méthode des éléments finis Généralisation de la forme faible aux problèmes unidimensionnels

Prof. F. Gallaire

Formulation faible approchée

Approximation des déplacements axiaux réel et virtuel

$$u \approx u^h \in U^h \subset U$$
$$\delta u \approx \delta u^h \in V^h \subset V$$

Forme faible approchée

$$u^{h} \in U^{h}: \int_{0}^{\ell} \left[EA \left(du^{h}/dx \right) \left(d\delta u^{h}/dx \right) + \rho u^{h} \delta u^{h} \right] dx$$
$$+ r u^{h}(\ell) \delta u^{h}(\ell)$$
$$= \int_{0}^{\ell} q \, \delta u^{h} \, dx + Q \, \delta u^{h}(x_{3}) + P \, \delta u^{h}(\ell) \quad \forall \, \delta u^{h} \in V^{h}$$

01/11/2018 -28-

Approximation de Galerkin

$$u^h(x) = \sum_{i=1}^n \alpha_i \, h_i(x) = \mathbf{H}(x) \boldsymbol{\alpha}$$

$$\delta u^h(x) = \sum_{i=1}^n \delta \alpha_i \, h_i(x) = \mathbf{H}(x) \delta \boldsymbol{\alpha}$$

$$\mathbf{H} = [h_1, h_2, ..., h_i, ..., h_n] \quad \text{matrice } (1 \times n) \text{ des fonctions de forme}$$

$$h_i(x) \quad (i = 1, 2, ..., n) \quad \text{fonctions de forme}$$

$$|a_i(x)| \quad (i = 1, 2, ..., n) \quad \text{fonctions de forme}$$

$$|a_i(x)| \quad (i = 1, 2, ..., n) \quad \text{fonctions de forme}$$

$$|a_i(x)| \quad (i = 1, 2, ..., n) \quad \text{fonctions de forme}$$

$$|a_i(x)| \quad (i = 1, 2, ..., n) \quad \text{fonctions de forme}$$

$$|a_i(x)| \quad (i = 1, 2, ..., n) \quad \text{fonctions de forme}$$

$$|a_i(x)| \quad (i = 1, 2, ..., n) \quad \text{fonctions de forme}$$

$$|a_i(x)| \quad (i = 1, 2, ..., n) \quad \text{fonctions de forme}$$

$$|a_i(x)| \quad (i = 1, 2, ..., n) \quad \text{fonctions de forme}$$

$$|a_i(x)| \quad (i = 1, 2, ..., n) \quad \text{fonctions de forme}$$

$$|a_i(x)| \quad (i = 1, 2, ..., n) \quad \text{fonctions de forme}$$

$$|a_i(x)| \quad (i = 1, 2, ..., n) \quad \text{fonctions de forme}$$

$$|a_i(x)| \quad (i = 1, 2, ..., n) \quad \text{fonctions de forme}$$

$$|a_i(x)| \quad (i = 1, 2, ..., n) \quad \text{fonctions de forme}$$

$$|a_i(x)| \quad (i = 1, 2, ..., n) \quad \text{fonctions de forme}$$

$$|a_i(x)| \quad (i = 1, 2, ..., n) \quad \text{fonctions de forme}$$

$$|a_i(x)| \quad (i = 1, 2, ..., n) \quad \text{fonctions de forme}$$

$$|a_i(x)| \quad (i = 1, 2, ..., n) \quad \text{fonctions de forme}$$

$$|a_i(x)| \quad (i = 1, 2, ..., n) \quad \text{fonctions de forme}$$

$$|a_i(x)| \quad (i = 1, 2, ..., n) \quad \text{fonctions de forme}$$

$$|a_i(x)| \quad (i = 1, 2, ..., n) \quad \text{fonctions de forme}$$

$$|a_i(x)| \quad (i = 1, 2, ..., n) \quad \text{fonctions de forme}$$

$$|a_i(x)| \quad (i = 1, 2, ..., n) \quad \text{fonctions de forme}$$

$$|a_i(x)| \quad (i = 1, 2, ..., n) \quad \text{fonctions de forme}$$

$$|a_i(x)| \quad (i = 1, 2, ..., n) \quad \text{fonctions de forme}$$

$$|a_i(x)| \quad (i = 1, 2, ..., n) \quad \text{fonctions de forme}$$

$$|a_i(x)| \quad (i = 1, 2, ..., n) \quad \text{fonctions de forme}$$

$$|a_i(x)| \quad (i = 1, 2, ..., n) \quad (i = 1, 2, ..., n)$$

01/11/2018 -29-

Forme faible discrète

$$\mathbf{K} \mathbf{\alpha} = \mathbf{r}$$

$$\mathbf{K} = \int_{0}^{\ell} [EA (d\mathbf{H}^{T}/dx) (d\mathbf{H}/dx) + \rho \mathbf{H}^{T} \mathbf{H}) dx \text{ matrice de rigidité}$$

$$+ r \mathbf{H}^{T}(\ell) \mathbf{H}(\ell)$$

$$= \int_{0}^{\ell} (EA \mathbf{B}^{T} \mathbf{B} + \rho \mathbf{H}^{T} \mathbf{H}) dx \qquad (\mathbf{B} = d\mathbf{H}/dx)$$

$$+ r \mathbf{H}^{T}(\ell) \mathbf{H}(\ell)$$

$$\mathbf{r} = \int_{0}^{\ell} \mathbf{H}^{T} q dx + \mathbf{H}^{T}(x_{3}) Q + \mathbf{H}^{T}(\ell) P \text{ vecteur des forces appliquées}$$

Forme faible discrète

$$\mathbf{K} \mathbf{\alpha} = \mathbf{r}$$

$$\mathbf{K} = \int_{0}^{\ell} [EA (d\mathbf{H}^{T}/dx) (d\mathbf{H}/dx) + \rho \mathbf{H}^{T} \mathbf{H}) dx \text{ matrice de rigidité}$$

$$+ r \mathbf{H}^{T}(\ell) \mathbf{H}(\ell)$$

$$= \int_{0}^{\ell} (EA \mathbf{B}^{T} \mathbf{B} + \rho \mathbf{H}^{T} \mathbf{H}) dx \qquad (\mathbf{B} = d\mathbf{H}/dx)$$

$$+ r \mathbf{H}^{T}(\ell) \mathbf{H}(\ell)$$

$$\mathbf{r} = \int_{0}^{\ell} \mathbf{H}^{T} q dx + \mathbf{H}^{T}(x_{3}) Q + \mathbf{H}^{T}(\ell) P \qquad \text{forces appliquées}$$
Termes nouveaux

01/11/2018

-31-

Forme faible discrète

$$\mathbf{K} \mathbf{\alpha} = \mathbf{r}$$

$$\mathbf{K} = \int_{0}^{\ell} [EA (d\mathbf{H}^{T}/dx) (d\mathbf{H}/dx) + \rho \mathbf{H}^{T} \mathbf{H}) dx \text{ matrice de rigidité}$$

$$+ (r \mathbf{H}^{T}(\ell) \mathbf{H}(\ell))$$

$$= \int_{0}^{\ell} (EA \mathbf{B}^{T} \mathbf{B} + \rho \mathbf{H}^{T} \mathbf{H}) dx \qquad (\mathbf{B} = d\mathbf{H}/dx)$$

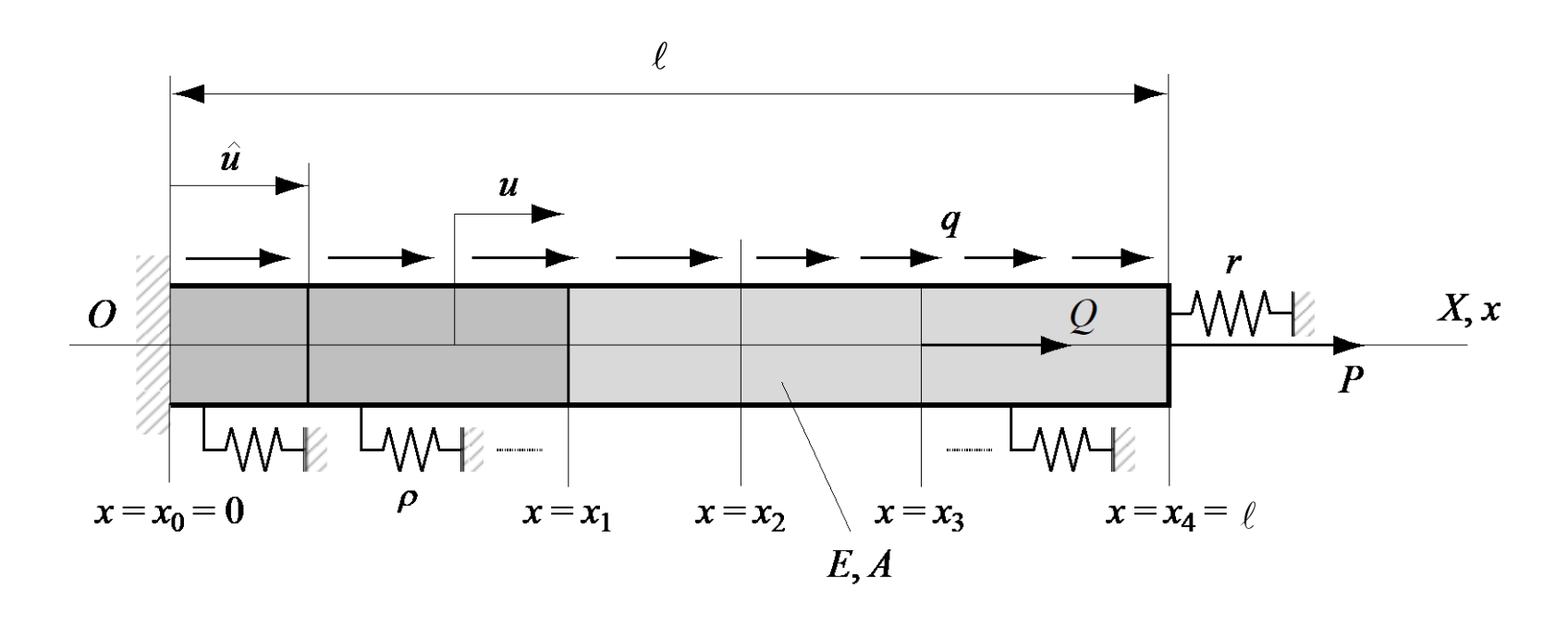
$$+ r \mathbf{H}^{T}(\ell) \mathbf{H}(\ell)$$

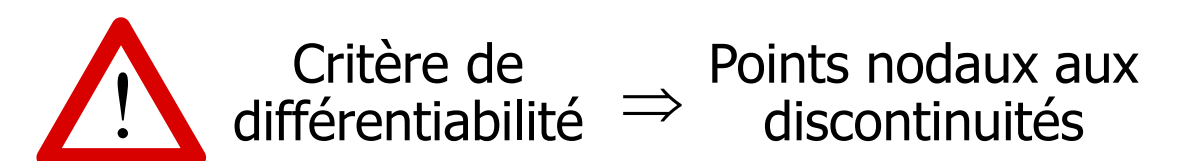
$$\mathbf{r} = \int_{0}^{\ell} \mathbf{H}^{T} q dx + \mathbf{H}^{T}(x_{3}) Q + \mathbf{H}^{T}(\ell) P \text{ vecteur des forces appliquées}$$

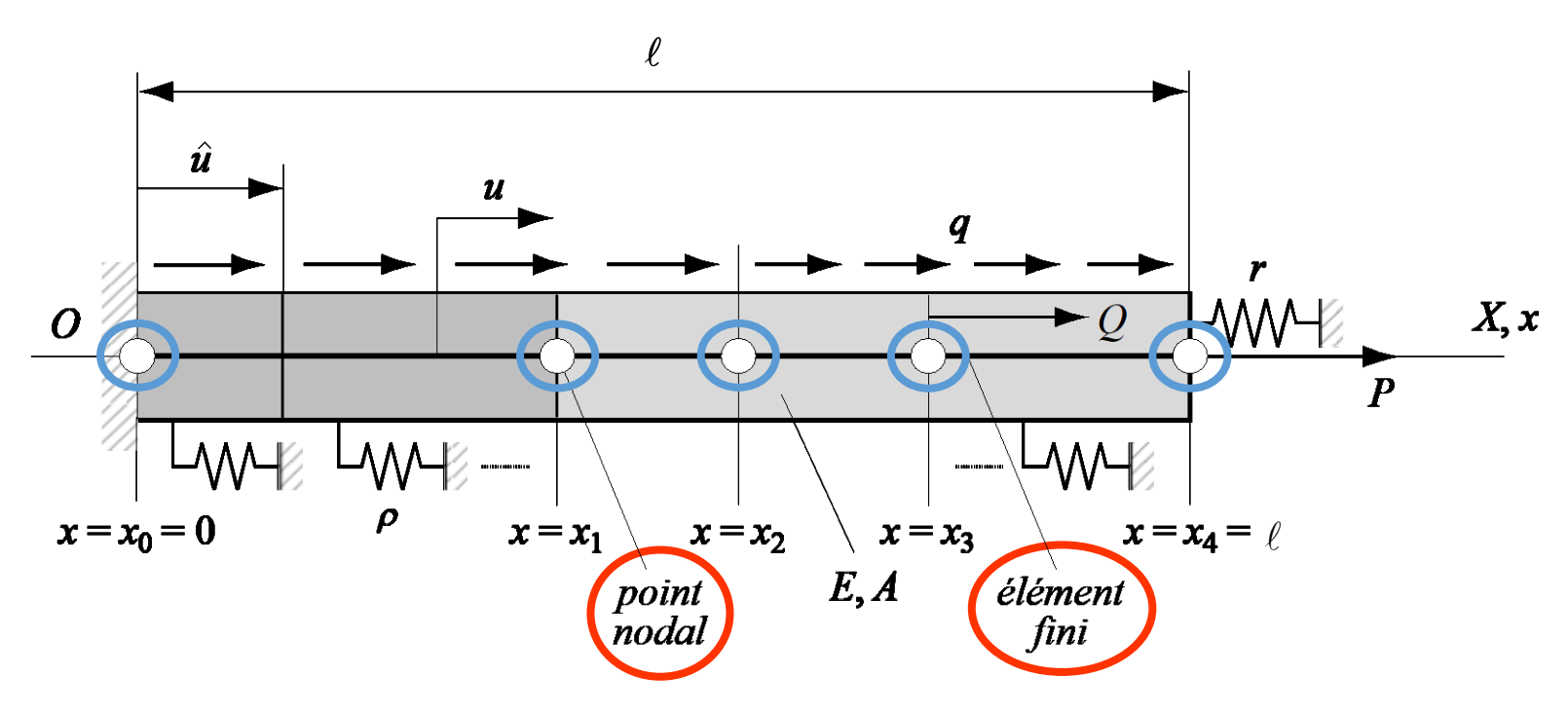
$$\mathbf{Termes dits}$$

$$\mathbf{Termes dits}$$

01/11/2018 -32-

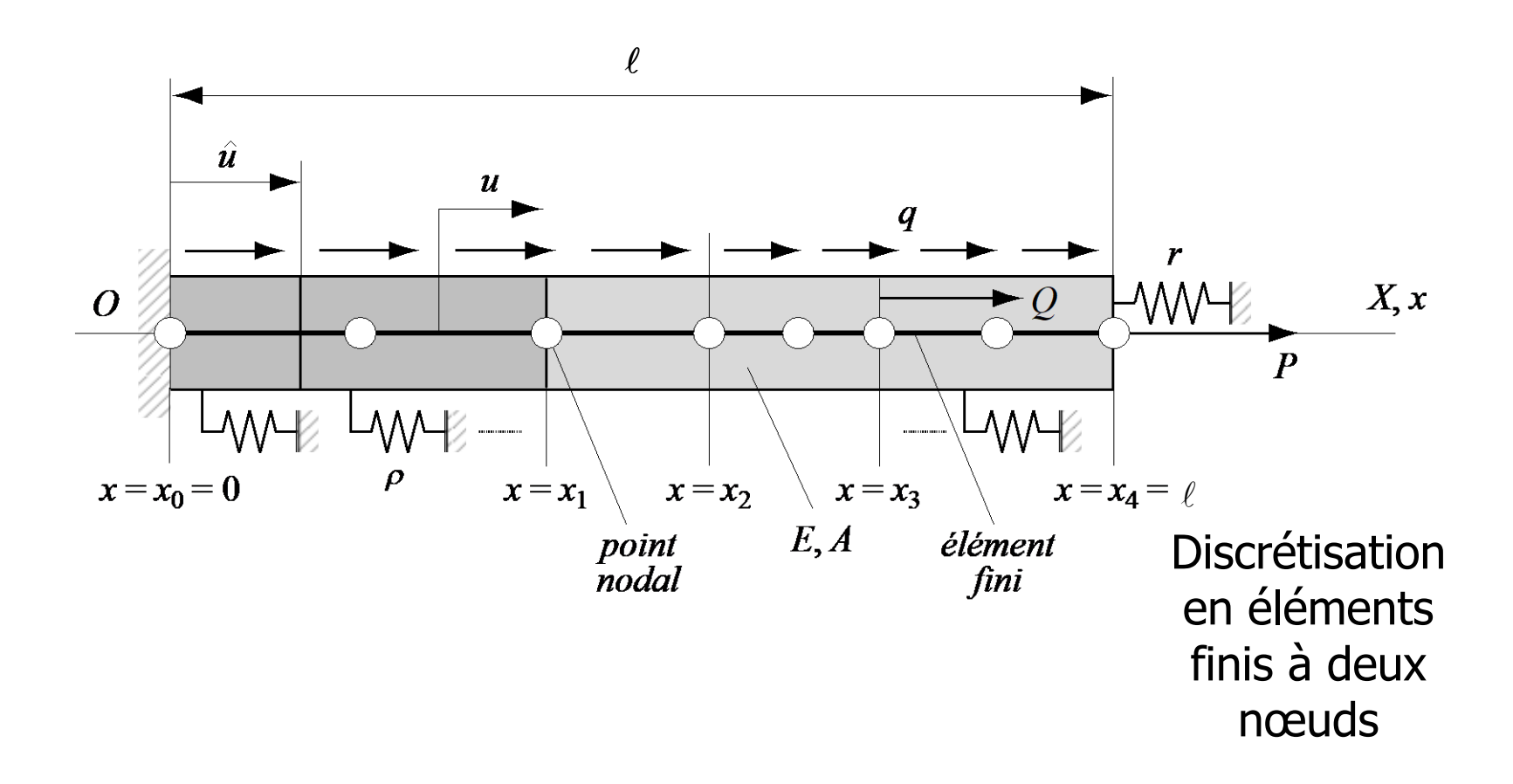






Points nodaux aux discontinuités

01/11/2018 -34-



 Approximation des déplacements par éléments finis : association d'une fonction de forme à chacun des nœuds

$$u^h(x) = \mathbf{H}(x) \mathbf{q}$$

 $\delta u^h(x) = \mathbf{H}(x) \delta \mathbf{q}$
 $\mathbf{H} = [h_1, h_2, ..., h_p]$ matrice $(1 \times p)$ des
nodales



Fonctions $h_i(x)$ à support compact

 Approximation des déplacements par éléments finis : association d'une fonction de forme à chacun des nœuds

$$u^h(x) = \mathbf{H}(x) \mathbf{q}$$

$$\delta u^h(x) = \mathbf{H}(x) \delta \mathbf{q}$$

$$\mathbf{H} = [h_1, h_2, ..., h_p] \qquad \text{matrice } (1 \times p) \text{ des}$$

$$\mathbf{H} = [h_1, h_2, ..., h_p] \qquad \text{fonctions de forme}$$

$$\text{nodales}$$

$$\mathbf{q} = \{q_1, q_2, ..., q_p\}^T \qquad \text{vecteurs } (p \times 1) \text{ des}$$

$$\delta \mathbf{q} = \{\delta q_1, \delta q_2, ..., \delta q_p\}^T \qquad \text{déplacements nodaux}$$

$$réel et virtuel$$



Critères de convergence à satisfaire par les fonctions $h_i(x)$

01/11/2018 -37-

Forme faible discrète

$$\mathbf{K} \mathbf{q} = \mathbf{r} \qquad (q_1 = \hat{q})$$

$$\mathbf{K} = \int_0^\ell [EA (d\mathbf{H}^T/dx) (d\mathbf{H}/dx) + \rho \mathbf{H}^T \mathbf{H}) dx \qquad \text{matrice}$$

$$+ r \mathbf{H}^T(\ell) \mathbf{H}(\ell) \qquad \text{de rigidité}$$

$$\mathbf{r} = \int_0^\ell \mathbf{H}^T q dx + \mathbf{H}^T(x_3) Q + \mathbf{H}^T(\ell) P \qquad \text{forces}$$

$$appliquées$$

$$\hat{q} = q_1 = \mathbf{H}(0) \mathbf{q} = u^h(0) \approx u(0) = \hat{u} \qquad \text{déplacement}$$

$$h_i(x_j) = \delta_{ij} \qquad (i, j = 1, 2, ..., p)$$

• Forme faible discrète (analogue à celle dérivée de la $\mathbf{K} \mathbf{q} = \mathbf{r} \quad (q_1 = \hat{q})$ méthode de Galerkin)

$$\mathbf{K} = \int_0^{\ell} [EA (d\mathbf{H}^T/dx) (d\mathbf{H}/dx) + \rho \mathbf{H}^T \mathbf{H}) dx$$
 matrice
$$+ r \mathbf{H}^T(\ell) \mathbf{H}(\ell)$$
 de rigidité

$$\mathbf{r} = \int_0^\ell \mathbf{H}^{\mathrm{T}} q \, \mathrm{d}x + \mathbf{H}^{\mathrm{T}}(x_3) \, Q + \mathbf{H}^{\mathrm{T}}(\ell) \, P$$
 vecteur des forces appliquées

$$\hat{q} = q_1 = \mathbf{H}(0) \mathbf{q} = u^h(0) \approx u(0) = \hat{u}$$
 déplacement nodal imposé



Fonctions à support compact dans la matrice ${\bf H}$

Forme faible discrète (analogue à celle dérivée de la méthode de Galerkin) $\mathbf{K} \mathbf{q} = \mathbf{r} \quad (q_1 = \hat{q})$

$$\mathbf{K} = \int_0^\ell [EA (d\mathbf{H}^T/dx) (d\mathbf{H}/dx) + \rho \mathbf{H}^T \mathbf{H}) dx \quad \text{matrice}$$

$$\mathbf{Termes \ correctifs} + r \mathbf{H}^T(\ell) \mathbf{H}(\ell) \qquad \text{de rigidité}$$

$$\mathbf{r} = \int_0^\ell \mathbf{H}^T q dx + \mathbf{H}^T(x_3) Q + \mathbf{H}^T(\ell) P \qquad \text{forces}$$

$$\mathbf{r} = \int_0^\ell \mathbf{H}^T q \, dx + \mathbf{H}^T(x_3) \, Q + \mathbf{H}^T(\ell) \, P$$
 vecteur des forces appliquées

$$\hat{q} = q_1 = \mathbf{H}(0) \mathbf{q} = u^h(0) \approx u(0) = \hat{u}$$
 déplacement nodal imposé



Fonctions à support compact dans la matrice ${f H}$

-40-01/11/2018

• Approche locale de la formulation (m éléments à ep nœuds)

$$\mathbf{K} \mathbf{q} = \mathbf{r} \qquad (q_1 = \hat{q})$$

$$\mathbf{K} = \mathbf{A}^e \mathbf{K} + r \mathbf{H}^T(\ell) \mathbf{H}(\ell) \qquad \qquad \text{Matrice \'el\'ementaire} \\ {}^e \mathbf{K} = \int_{e_{\Omega}} \left[{}^e E^e A \left(\mathbf{A}^e \mathbf{H}^T / \mathrm{d} x \right) \left(\mathrm{d}^e \mathbf{H} / \mathrm{d} x \right) + {}^e \rho \right.^e \mathbf{H}^T \left.^e \mathbf{H} \right] \mathrm{d} x$$

$$\mathbf{r} = \mathbf{A}^e \mathbf{r} + \mathbf{H}^T(x_3) Q + \mathbf{H}^T(\ell) P \qquad \qquad \text{Matrice des fonctions de base}$$

$${}^e \mathbf{r} = \int_{e_{\Omega}} {}^e \mathbf{H}^T e^e q \, \mathrm{d} x \qquad \text{Vecteur \'el\'ementaire} \left({}^e p \times 1 \right)$$

$$\mathsf{des} \qquad \mathsf{forces \ externes}$$

01/11/2018 -41-

• Approche locale de la formulation (m éléments à ep nœuds)

$$\mathbf{K} \mathbf{q} = \mathbf{r} \qquad (q_1 = \hat{q})$$

$$\mathbf{K} = \mathbf{A}^{e} \mathbf{K} \mathbf{K} \mathbf{r} \mathbf{H}^{T}(\ell) \mathbf{H}(\ell) \qquad \text{Matrice \'el\'ementaire} \\ (^{e}p \times ^{e}p) \text{ de rigidit\'e}$$

$$^{e}\mathbf{K} = \int_{^{e}\Omega} [^{e}E^{e}A (\mathbf{A}^{e}\mathbf{H}^{T}/\mathrm{d}x) (\mathrm{d}^{e}\mathbf{H}/\mathrm{d}x) + ^{e}\rho \ ^{e}\mathbf{H}^{T} \ ^{e}\mathbf{H}] \mathrm{d}x$$

$$\mathbf{r} = \mathbf{A}^{e}\mathbf{r} \mathbf{H}^{T}(x_3) \ \mathcal{Q} \mathbf{H}^{T}(\ell) \ P \qquad \text{Matrice des fonctions de base}$$

$$^{e}\mathbf{r} = \int_{^{e}\Omega} {^{e}\mathbf{H}^{T}} \ ^{e}q \, \mathrm{d}x \qquad \text{Vecteur \'el\'ementaire} \ (^{e}p \times 1)$$

$$\text{des fonces externes}$$



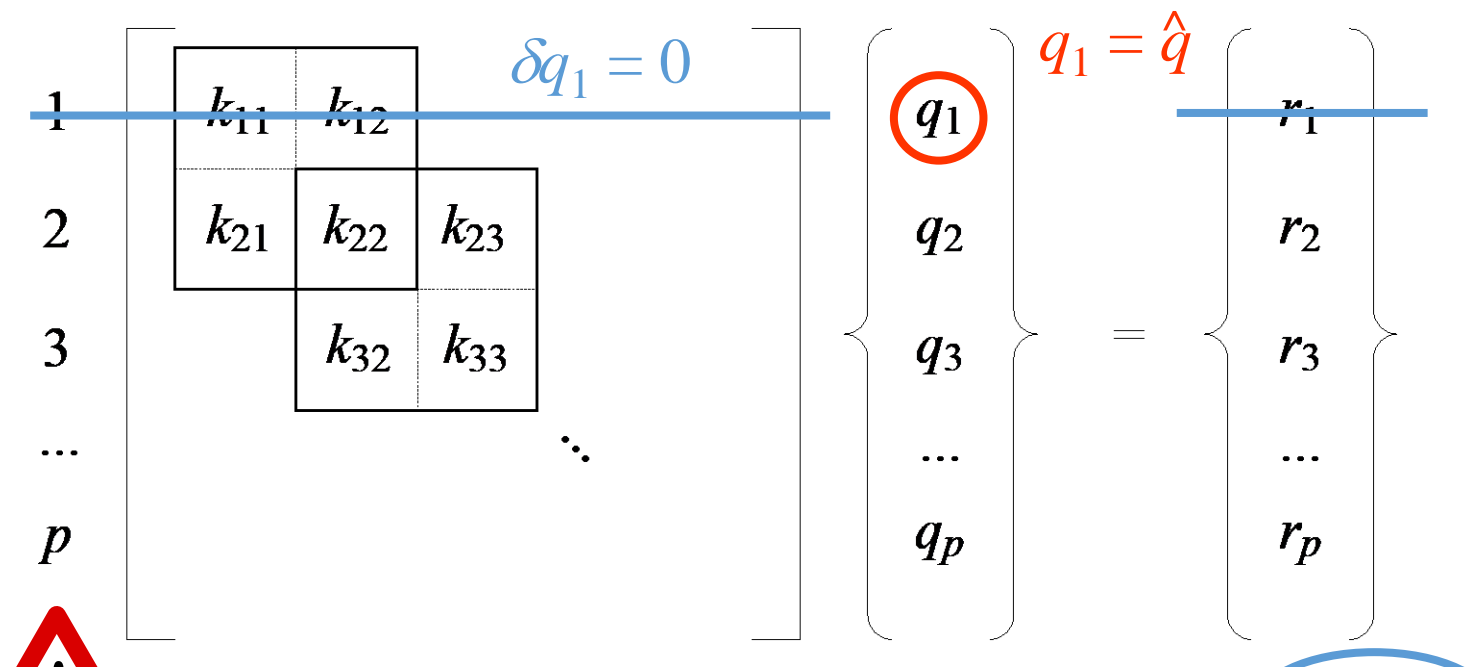
Contributions locales (fonctions à support compact dans \mathbf{H})

01/11/2018 -42-

Résolution du système d'équations



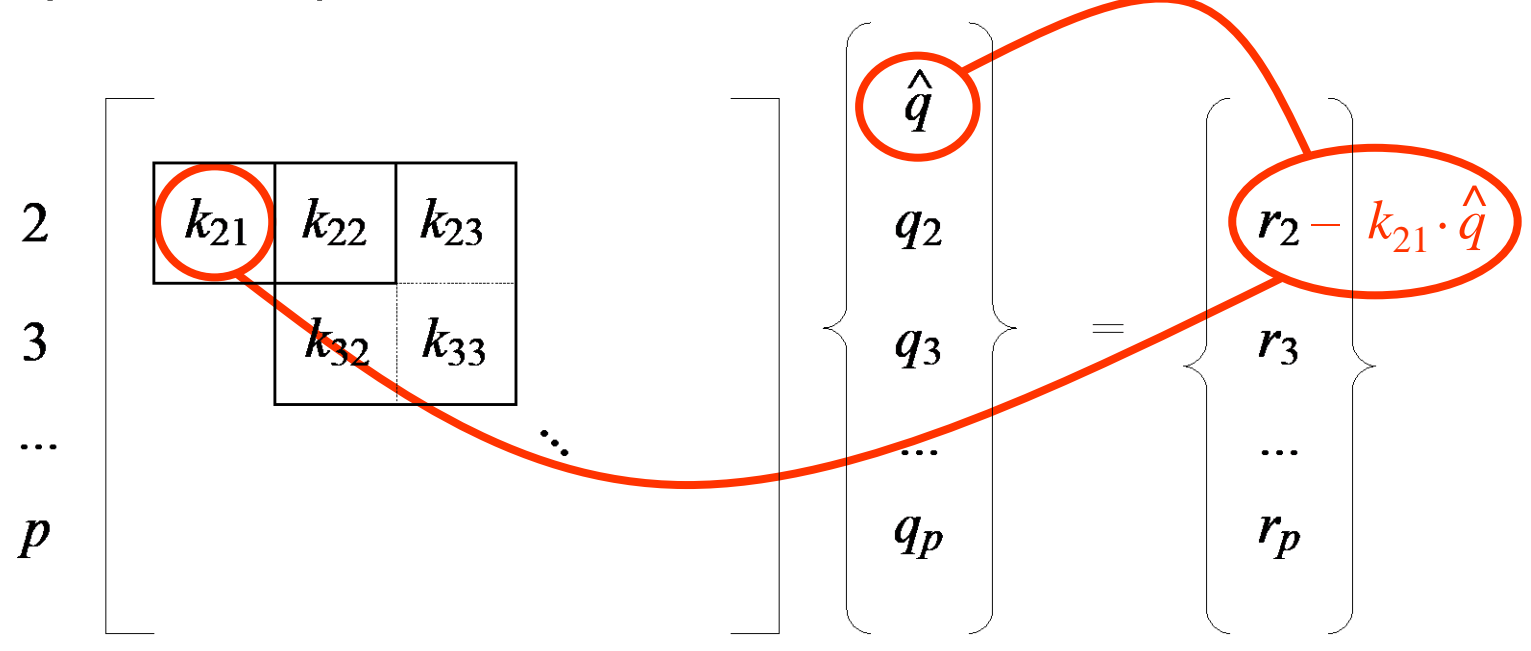
Pas d'élimination de colonne



Condition aux limites essentielle en $x = 0 \implies \delta q_1 = 0$

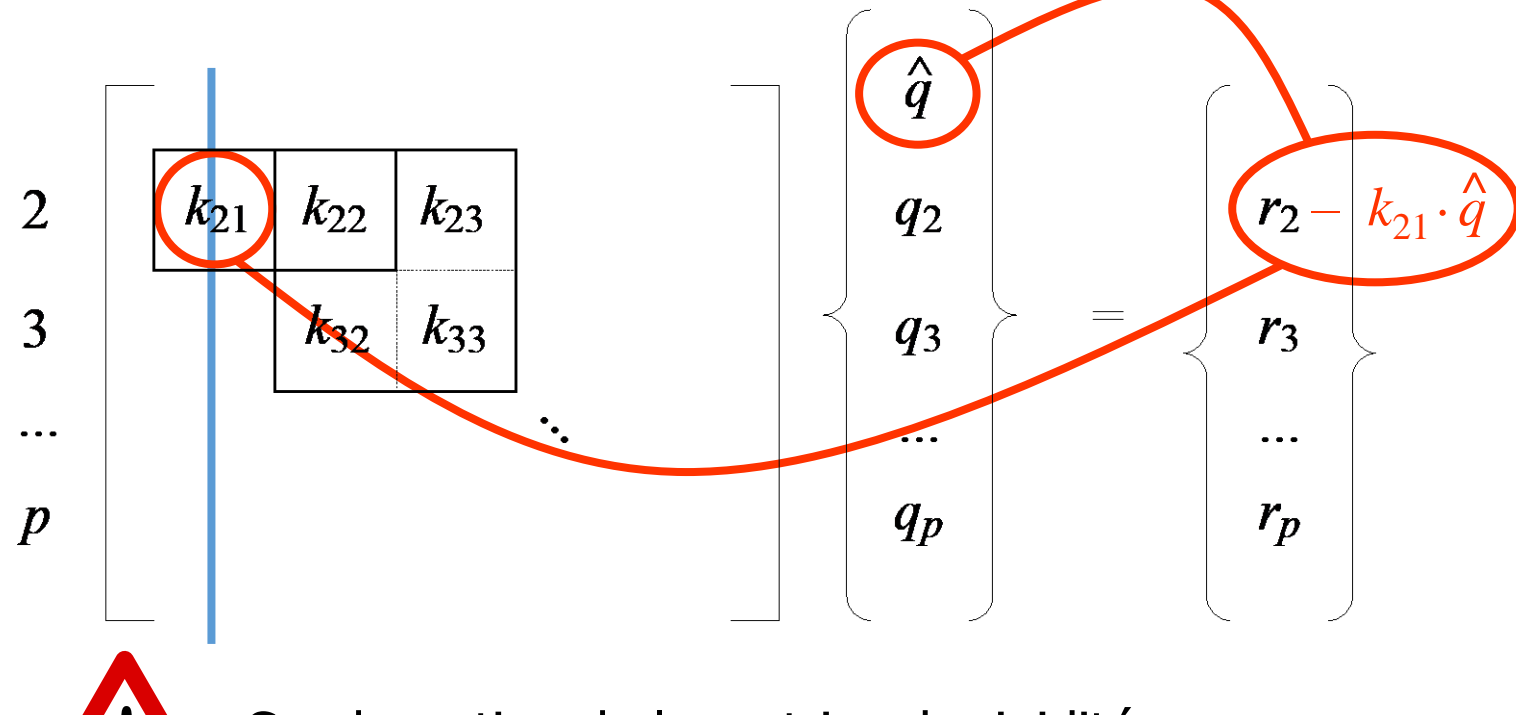
01/11/2018 -43-

• Système d'équations réduit



01/11/2018 -44-

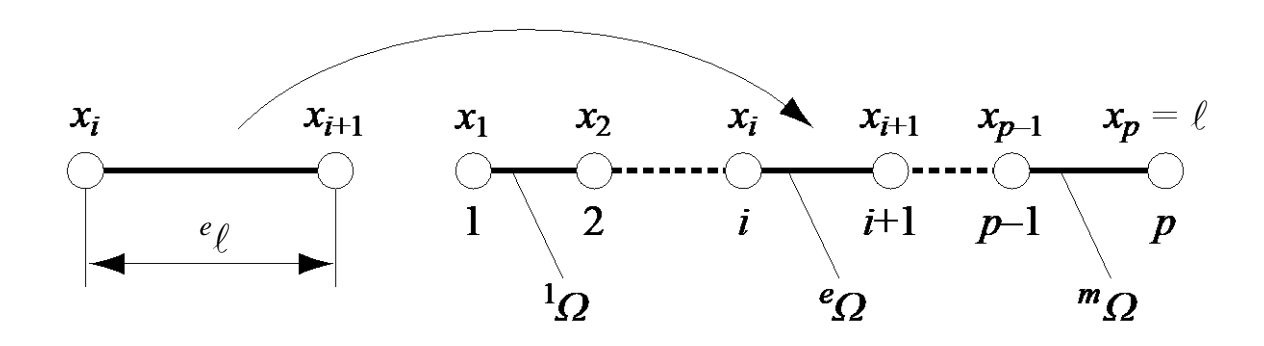
Système d'équations réduit



Condensation de la matrice de rigidité

01/11/2018 -45-

• Élément fini générique à deux points nodaux



Transformation de coordonnées

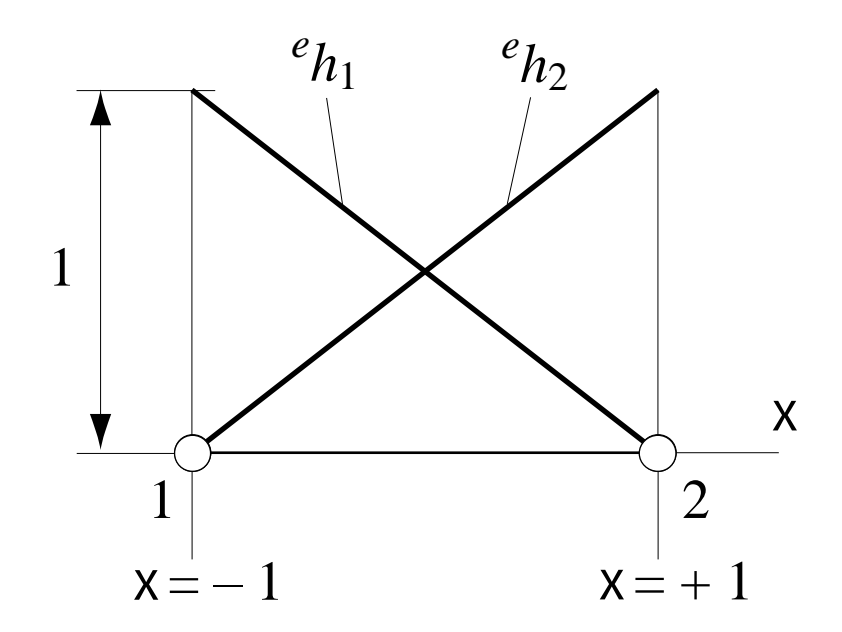
$$\xi = \frac{1}{e_{\ell}} (2x - x_i - x_{i+1}) \qquad \begin{array}{c} \xi \quad \text{coordonn\'ee naturelle} \\ e_{\ell} \quad \text{longueur de l'\'el\'ement} \end{array}$$

01/11/2018 -46-

Fonctions de base linéaires de l'élément

$${}^{e}h_{1} = \frac{1}{2} (1 - \xi)$$
 ${}^{e}h_{2} = \frac{1}{2} (1 + \xi)$

$$^{e}h_{2} = \frac{1}{2}(1 + \xi)$$



-47-01/11/2018

- Matrice élémentaire de rigidité
 - Composantes de la matrice de rigidité des éléments linéaires

$${}^{e}k_{ij} = \int_{e_{\Omega}} \left[{}^{e}E {}^{e}A \left(d^{e}h_{i}/dx \right) \left(d^{e}h_{j}/dx \right) + {}^{e}\rho {}^{e}h_{i} {}^{e}h_{j} \right] dx$$

Calcul des composantes de la matrice

$${}^{e}k_{11} = \int_{e_{\Omega}} \left[{}^{e}E \, {}^{e}A \, (\mathrm{d}^{e}h_{1}/\mathrm{d}x)^{2} + {}^{e}\rho \, {}^{e}h_{1}^{2} \right] \, \mathrm{d}x$$

$$= \int_{e_{\Omega}} \left[{}^{e}E \, {}^{e}A \, (\mathrm{d}^{e}h_{1}/\mathrm{d}\xi)^{2} (\mathrm{d}\xi/\mathrm{d}x)^{2} + {}^{e}\rho \, {}^{e}h_{1}^{2} \right] \, \mathrm{d}x$$

$$= \int_{e_{\Omega}} \left[{}^{e}E \, {}^{e}A \, (\mathrm{d}^{e}h_{1}/\mathrm{d}\xi)^{2} (\mathrm{d}\xi/\mathrm{d}x)^{2} + {}^{e}\rho \, {}^{e}h_{1}^{2} \right] \, \mathrm{d}x$$

$$= \int_{e_{\Omega}} \left[{}^{e}E \, {}^{e}A \, (\mathrm{d}^{e}h_{1}/\mathrm{d}\xi)^{2} (\mathrm{d}\xi/\mathrm{d}x)^{2} + {}^{e}\rho \, {}^{e}h_{1}^{2} \right] \, \mathrm{d}x$$

$$= \int_{e_{\Omega}} \left[{}^{e}E \, {}^{e}A \, (\mathrm{d}^{e}h_{1}/\mathrm{d}\xi)^{2} (\mathrm{d}\xi/\mathrm{d}x)^{2} + {}^{e}\rho \, {}^{e}h_{1}^{2} \right] \, \mathrm{d}x$$

$$= \int_{e_{\Omega}} \left[{}^{e}E \, {}^{e}A \, (\mathrm{d}^{e}h_{1}/\mathrm{d}\xi)^{2} (\mathrm{d}\xi/\mathrm{d}x)^{2} + {}^{e}\rho \, {}^{e}h_{1}^{2} \right] \, \mathrm{d}x$$

$$= \int_{e_{\Omega}} \left[{}^{e}E \, {}^{e}A \, (\mathrm{d}^{e}h_{1}/\mathrm{d}\xi)^{2} (\mathrm{d}\xi/\mathrm{d}x)^{2} + {}^{e}\rho \, {}^{e}h_{1}^{2} \right] \, \mathrm{d}x$$

$$= \int_{e_{\Omega}} \left[{}^{e}E \, {}^{e}A \, (\mathrm{d}^{e}h_{1}/\mathrm{d}\xi)^{2} (\mathrm{d}\xi/\mathrm{d}x)^{2} + {}^{e}\rho \, {}^{e}h_{1}^{2} \right] \, \mathrm{d}x$$

$$= \int_{e_{\Omega}} \left[{}^{e}E \, {}^{e}A \, (\mathrm{d}^{e}h_{1}/\mathrm{d}\xi)^{2} (\mathrm{d}\xi/\mathrm{d}x)^{2} + {}^{e}\rho \, {}^{e}h_{1}^{2} \right] \, \mathrm{d}x$$

$$= \int_{e_{\Omega}} \left[{}^{e}E \, {}^{e}A \, (\mathrm{d}^{e}h_{1}/\mathrm{d}\xi)^{2} (\mathrm{d}\xi/\mathrm{d}x)^{2} + {}^{e}\rho \, {}^{e}h_{1}^{2} \right] \, \mathrm{d}x$$

$$= \int_{e_{\Omega}} \left[{}^{e}E \, {}^{e}A \, (\mathrm{d}^{e}h_{1}/\mathrm{d}\xi)^{2} (\mathrm{d}\xi/\mathrm{d}x)^{2} + {}^{e}\rho \, {}^{e}h_{1}^{2} \right] \, \mathrm{d}x$$

$$= \int_{e_{\Omega}} \left[{}^{e}E \, {}^{e}A \, (\mathrm{d}^{e}h_{1}/\mathrm{d}\xi)^{2} (\mathrm{d}\xi/\mathrm{d}x)^{2} + {}^{e}\rho \, {}^{e}h_{1}^{2} \right] \, \mathrm{d}x$$

$$= \int_{e_{\Omega}} \left[{}^{e}E \, {}^{e}A \, (\mathrm{d}^{e}h_{1}/\mathrm{d}\xi)^{2} (\mathrm{d}\xi/\mathrm{d}x)^{2} + {}^{e}\rho \, {}^{e}h_{1}^{2} \right] \, \mathrm{d}x$$

$$= \int_{e_{\Omega}} \left[{}^{e}E \, {}^{e}A \, (\mathrm{d}^{e}h_{1}/\mathrm{d}\xi)^{2} (\mathrm{d}\xi/\mathrm{d}x)^{2} + {}^{e}\rho \, {}^{e}h_{1}^{2} \right] \, \mathrm{d}x$$

$$= \int_{e_{\Omega}} \left[{}^{e}E \, {}^{e}A \, (\mathrm{d}^{e}h_{1}/\mathrm{d}\xi)^{2} (\mathrm{d}\xi/\mathrm{d}x)^{2} + {}^{e}\rho \, {}^{e}h_{1}^{2} \right] \, \mathrm{d}x$$

$$= \int_{e_{\Omega}} \left[{}^{e}E \, {}^{e}A \, (\mathrm{d}^{e}h_{1}/\mathrm{d}\xi)^{2} (\mathrm{d}\xi/\mathrm{d}x)^{2} + {}^{e}\rho \, {}^{e}h_{1}^{2} \right] \, \mathrm{d}x$$

01/11/2018 -48-

Calcul des composantes de la matrice (suite)

$$e^{e}k_{11} = \int_{-1}^{+1} \left[{}^{e}E \, {}^{e}A \left(-\frac{1}{2} \right)^{2} \left(\frac{2}{e_{\ell}} \right)^{2} + \frac{e\rho}{4} (1 - \xi)^{2} \right] \frac{e_{\ell}}{2} \, \mathrm{d}\xi$$

$$= {}^{e}E \, {}^{e}A / {}^{e}\ell + {}^{e}\rho \, {}^{e}\ell / 3$$

$$e^{e}k_{12} = {}^{e}k_{21} = \int_{e_{\Omega}} \left[{}^{e}E \, {}^{e}A \, \left(\mathrm{d}^{e}h_{1} / \mathrm{d}x \right) \, \left(\mathrm{d}^{e}h_{2} / \mathrm{d}x \right) \right.$$

$$= -{}^{e}E \, {}^{e}A / {}^{e}\ell + {}^{e}\rho \, {}^{e}\ell / 6$$

$$e^{e}k_{22} = \int_{e_{\Omega}} \left[{}^{e}E \, {}^{e}A \, \left(\mathrm{d}^{e}h_{2} / \mathrm{d}x \right)^{2} + {}^{e}\rho \, {}^{e}h_{2}^{2} \right] \, \mathrm{d}x$$

$$= {}^{e}E \, {}^{e}A / {}^{e}\ell + {}^{e}\rho \, {}^{e}\ell / 3$$

01/11/2018 -49-

Matrice de rigidité

$${}^{e}\mathbf{K} = \frac{{}^{e}E {}^{e}A}{{}^{e}\ell} \begin{bmatrix} 1 & -1 \\ -1 & 1 \end{bmatrix} + \frac{{}^{e}\rho {}^{e}\ell}{6} \begin{bmatrix} 2 & 1 \\ 1 & 2 \end{bmatrix}$$



Matrice (2×2) indépendante de la position de l'élément



Matrice définie strictement positive



Paramètres de la matrice : matériau $({}^eE, {}^e\rho)$ et géométrie $({}^eA, {}^e\ell)$

Matrice de rigidité

$${}^{e}\mathbf{K} = \frac{{}^{e}E {}^{e}A}{{}^{e}\ell} \begin{bmatrix} 1 & -1 \\ -1 & 1 \end{bmatrix} + \left(\frac{{}^{e}\rho {}^{e}\ell}{6} \begin{bmatrix} 2 & 1 \\ 1 & 2 \end{bmatrix} \right)$$



Matrice (2×2) indépendante de la position de l'élément



Matrice définie strictement positive



Paramètres de la matrice : matériau $({}^eE, {}^e\rho)$ et géométrie $({}^eA, {}^e\ell)$



Analogie avec une matrice de masse

01/11/2018

-51-

Matrice de rigidité

$${}^{e}\mathbf{K} = \frac{{}^{e}E {}^{e}A}{{}^{e}\ell} \begin{bmatrix} 1 & -1 \\ -1 & 1 \end{bmatrix} + \left(\frac{{}^{e}\rho {}^{e}\ell}{6} \begin{bmatrix} 2 & 1 \\ 1 & 2 \end{bmatrix} \right) + \left(\frac{{}^{e}\kappa \begin{bmatrix} -1 & 1 \\ -1 & 1 \end{bmatrix} \right)$$



Matrice (2×2) indépendante de la position de l'élément



Paramètres de la matrice : matériau $({}^eE, {}^e\rho)$ et géométrie $({}^eA, {}^e\ell)$



Matrice définie strictement positive



Analogie avec une matrice de masse



Formulation complète de la matrice

01/11/2018

-52-

Matrice de rigidité

$${}^{e}\mathbf{K} = \frac{{}^{e}E {}^{e}A}{{}^{e}\ell} \begin{bmatrix} 1 & -1 \\ -1 & 1 \end{bmatrix} + \left(\frac{{}^{e}\rho {}^{e}\ell}{6} \begin{bmatrix} 2 & 1 \\ 1 & 2 \end{bmatrix} + \left(\frac{{}^{e}\kappa \begin{bmatrix} -1 & 1 \\ -1 & 1 \end{bmatrix} \right)$$



Matrice (2×2) indépendante de la position de l'élément



Matrice définie strictement positive



Paramètres de la matrice : matériau $({}^eE, {}^e\rho)$ et géométrie $({}^eA, {}^e\ell)$



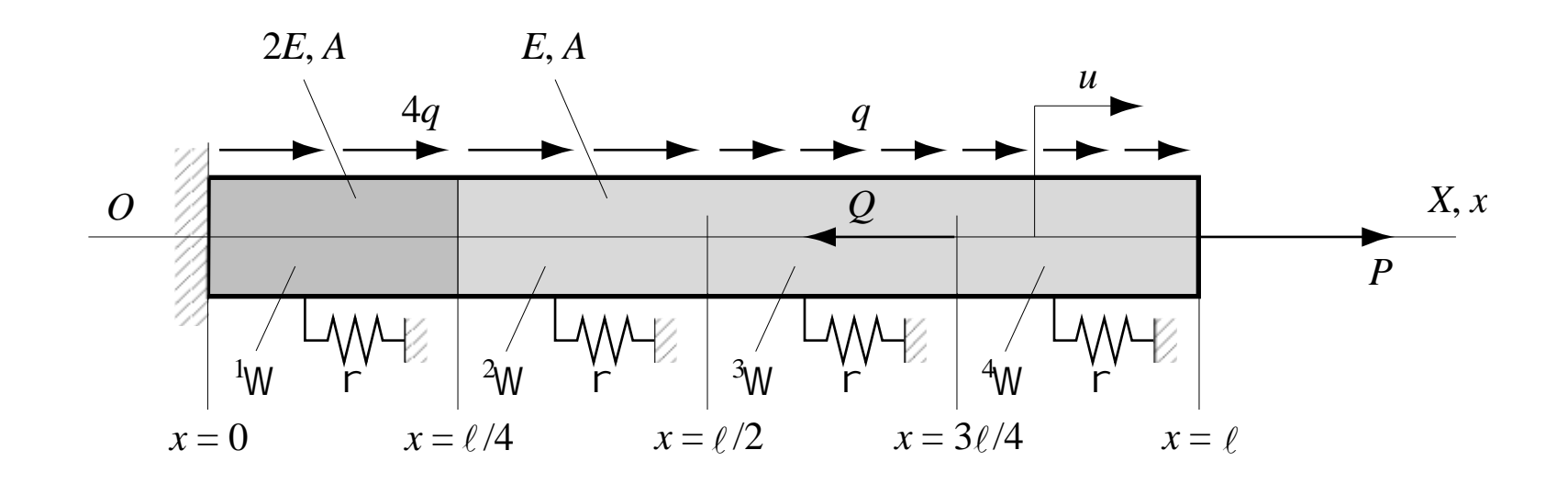
Analogie avec une matrice de masse



Perte de symétrie

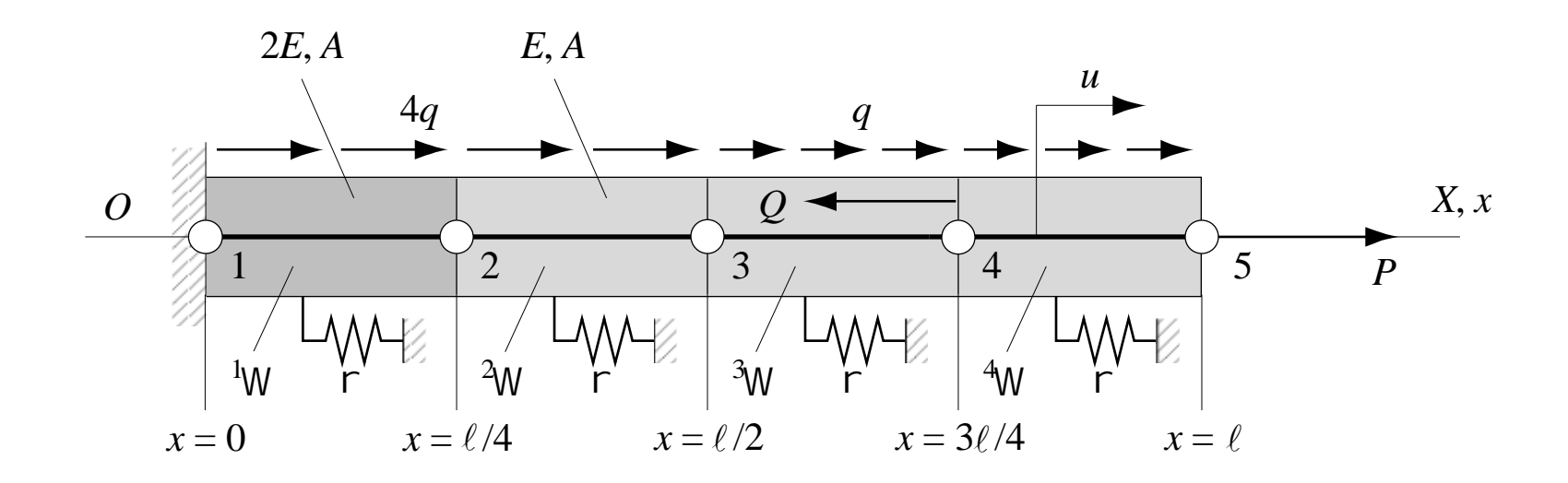


Formulation complète de la matrice



Barre prismatique soumise à des discontinuités

01/11/2018 -54-



Barre prismatique soumise à des discontinuités et subdivisée en quatre éléments finis identiques

01/11/2018 -55-

• Équation différentielle

$$-E*A (d^2u/dx^2) + \rho u = q*$$
 dans $I_i = (i-1)\ell/4, i\ell/4$ [$(i=1, 2, 3, 4)$

avec

$$E^* = 2E$$
 $0 \le x \le \ell/4$
 $E^* = E$ $\ell/4 \le x \le \ell$
 $q^* = 4q$ $0 \le x \le \ell/2$
 $q^* = q$ $\ell/2 \le x \le \ell$

Conditions aux limites

$$u(0) = 0$$
 condition essentielle homogène $EA \left(\frac{\mathrm{d}u}{\mathrm{d}x} \right) \Big|_{x = \ell} = P$ condition naturelle pure

Équations de continuité en flux (contrainte)

$$\lim_{x \to \ell/4^{+}} E \left[\frac{du(x)}{dx} \right] - \lim_{x \to \ell/4^{-}} 2E \left[\frac{du(x)}{dx} \right] = 0$$

$$\lim_{x \to \ell/2^{+}} E \left[\frac{du(x)}{dx} \right] - \lim_{x \to \ell/2^{-}} E \left[\frac{du(x)}{dx} \right] = 0$$

$$\lim_{x \to 3\ell/4^{+}} EA \left[\frac{du(x)}{dx} \right] - \lim_{x \to 3\ell/4^{-}} EA \left[\frac{du(x)}{dx} \right] = Q$$
Signe
$$\lim_{x \to 3\ell/4^{+}} EA \left[\frac{du(x)}{dx} \right] - \lim_{x \to 3\ell/4^{-}} EA \left[\frac{du(x)}{dx} \right] = Q$$

01/11/2018 -57-

Forme faible approchée

$$u^{h} \in U^{h} \subset U : \int_{0}^{\ell} \left[E^{*}A \left(\frac{\mathrm{d}u^{h}}{\mathrm{d}x} \right) \left(\frac{\mathrm{d}\delta u^{h}}{\mathrm{d}x} \right) + \rho u^{h} \delta u^{h} \right] \mathrm{d}x$$
$$= \int_{0}^{\ell} q^{*} \delta u^{h} \, \mathrm{d}x - Q \, \delta u^{h} (3\ell/4) + P \, \delta u^{h}(\ell)$$



Condition de bord naturelle pure

$$\forall \delta u^h \in V^h \subset V$$

01/11/2018 -58-

• Forme faible approchée

$$u^{h} \in U^{h} \subset U : \int_{0}^{\ell} \left[E^{*}A \left(\frac{\mathrm{d}u^{h}}{\mathrm{d}x} \right) \left(\frac{\mathrm{d}\delta u^{h}}{\mathrm{d}x} \right) + \rho u^{h} \delta u^{h} \right] \mathrm{d}x$$
$$= \int_{0}^{\ell} q^{*} \delta u^{h} \, \mathrm{d}x - Q \, \delta u^{h} (3\ell/4) + P \, \delta u^{h}(\ell)$$



Force Q négative

$$\forall \delta u^h \in V^h \subset V$$

01/11/2018 -59-

Forme faible approchée

$$u^{h} \in U^{h} \subset U : \int_{0}^{\ell} \left[E^{*}A \left(du^{h}/dx \right) \left(d\delta u^{h}/dx \right) + \rho u^{h} \delta u^{h} \right] dx$$

$$= \int_{0}^{\ell} q^{*} \delta u^{h} dx - Q \delta u^{h} (3\ell/4) + P \delta u^{h} (\ell)$$

$$\forall \delta u^{h} \in V^{h} \subset V$$

avec

$$U = V = \{w(x) \mid w(x) \in H^1(]0, \ell[), w(0) = 0\}$$
Condition de bord essentielle homogène

01/11/2018

-60-

Système d'équations

$$\mathbf{r} = \mathbf{A}^{e} \mathbf{r} - \mathbf{H}^{T}(3\ell/4) Q + \mathbf{H}^{T}(\ell) P$$

$${}^{e}\mathbf{r} = \int_{e_{\Omega}} {}^{e}\mathbf{H}^{T} {}^{e}q \, \mathrm{d}x \qquad \text{Vecteur élémentaire (2×1)}$$

$$\mathrm{des forces externes}$$

01/11/2018 -61-

Matrices élémentaires de rigidité

$${}^{e}\mathbf{K} = \frac{{}^{e}E {}^{e}A}{{}^{e}\ell} \begin{bmatrix} 1 & -1 \\ -1 & 1 \end{bmatrix} + \frac{{}^{e}\rho {}^{e}\ell}{6} \begin{bmatrix} 2 & 1 \\ 1 & 2 \end{bmatrix}$$

$$\Rightarrow {}^{1}\mathbf{K} = \frac{8EA}{\ell} \begin{bmatrix} 1 & -1 \\ -1 & 1 \end{bmatrix} + \frac{\rho\ell}{24} \begin{bmatrix} 2 & 1 \\ 1 & 2 \end{bmatrix}$$

$${}^{2}\mathbf{K} = {}^{3}\mathbf{K} = {}^{4}\mathbf{K} = \frac{4EA}{\ell} \begin{bmatrix} 1 & -1 \\ -1 & 1 \end{bmatrix} + \frac{\rho\ell}{24} \begin{bmatrix} 2 & 1 \\ 1 & 2 \end{bmatrix}$$

$$\mathbf{K} = \frac{4EA}{\ell} \begin{bmatrix} 2 & -2 & & & \\ -2 & 2+1 & -1 & & \\ & -1 & 1+1 & -1 & \\ & & -1 & 1 \end{bmatrix} \quad \begin{array}{c} \text{Assemblage de la} \\ \text{matrice globale de} \\ \text{rigidité} \\ \\ 2 & 1 \\ 1 & 2+2 & 1 \\ \\ \end{array}$$

Matrice globale de rigidité
$$\mathbf{K} = \frac{4EA}{\ell} \begin{bmatrix} 2 & -2 & 0 & 0 & 0 \\ -2 & 3 & -1 & 0 & 0 \\ 0 & -1 & 2 & -1 & 0 \\ 0 & 0 & -1 & 2 & -1 \\ 0 & 0 & 0 & -1 & 1 \end{bmatrix} + \frac{\rho\ell}{24} \begin{bmatrix} 2 & 1 & 0 & 0 & 0 \\ 1 & 4 & 1 & 0 & 0 \\ 0 & 1 & 4 & 1 & 0 \\ 0 & 0 & 1 & 4 & 1 \\ 0 & 0 & 0 & 1 & 2 \end{bmatrix}$$

Vecteurs élémentaires des forces externes

$$e\mathbf{r} = \frac{eq}{2} {\{1, 1\}^{\mathrm{T}}}$$
 Concentration de la charge répartie aux nœuds
$$\Rightarrow {}^{1}\mathbf{r} = {}^{2}\mathbf{r} = \frac{q\ell}{2} {\{1, 1\}^{\mathrm{T}}}$$

$${}^{3}\mathbf{r} = {}^{4}\mathbf{r} = \frac{q\ell}{2} {\{1, 1\}^{\mathrm{T}}}$$

Assemblage du vecteur global des forces externes

$$\mathbf{r} = \frac{q\ell}{8} \{4, 4+4, 4+1, 1+1, 1\}^{\mathrm{T}}$$

Vecteur global des forces externes

$$\mathbf{r} = \frac{q\ell}{8} \{4, 8, 5, 2, 1\}^{\mathrm{T}}$$

Correction du vecteur global des forces externes

$$\mathbf{r} = \mathbf{A}^{m} e \mathbf{r} - \mathbf{H}^{T}(3\ell/4) Q + \mathbf{H}^{T}(\ell) P$$

Vecteur global des forces externes

$$\mathbf{r} = \frac{q\ell}{8} \{4, 8, 5, 2, 1\}^{\mathrm{T}}$$

Correction du vecteur global des forces externes

$$\mathbf{r} = \left(\mathbf{A} e^{\mathbf{r}} \right) - \mathbf{H}^{\mathrm{T}}(3\ell/4) Q + \mathbf{H}^{\mathrm{T}}(\ell) P$$

Vecteur global des forces externes

$$\mathbf{r} = \frac{q\ell}{8} \{4, 8, 5, 2, 1\}^{\mathrm{T}}$$

Correction du vecteur global des forces externes

$$\mathbf{r} = A e^{\mathbf{r}} - \mathbf{H}^{T}(3\ell/4) Q + \mathbf{H}^{T}(\ell) P$$

$$\Rightarrow r_{4} = \frac{q\ell}{4} - Q$$

$$r_{5} = \frac{q\ell}{8} + P$$

• Système d'équations linéaires $\delta q_1 =$

$$\begin{bmatrix} \frac{4EA}{\ell} & \frac{1}{\ell} & \frac{-2}{2} & \frac{0}{4} & \frac{0}{4} & \frac{0}{4} & \frac{1}{4} & \frac{0}{4} & \frac{0}{4} & \frac{1}{4} & \frac{0}{4} & \frac{0}{4} & \frac{1}{4} & \frac{0}{4} & \frac{0}{4} & \frac{1}{4} & \frac{0}{4} &$$

$$= \frac{q\ell}{8} \{4, 8, 5, 2, 1\}^{\mathrm{T}} + \{0, 0, 0, -Q, P\}^{\mathrm{T}}$$



Prise en compte de l'encastrement au nœud 1

Système d'équations réduit



Pas de solution analytique simple

$$= \frac{q\ell}{8} \begin{vmatrix} 8 \\ 5 \\ 2 \end{vmatrix} + \begin{cases} 0 \\ 0 \\ -Q \\ P \end{vmatrix}$$

01/11/2018

-70-

Application numérique

- Longueur ℓ = 1 m

• Section $A = 100 \text{ mm}^2$

- Module d'élasticité $E = 2.1 \ 10^{11} \ Pa$

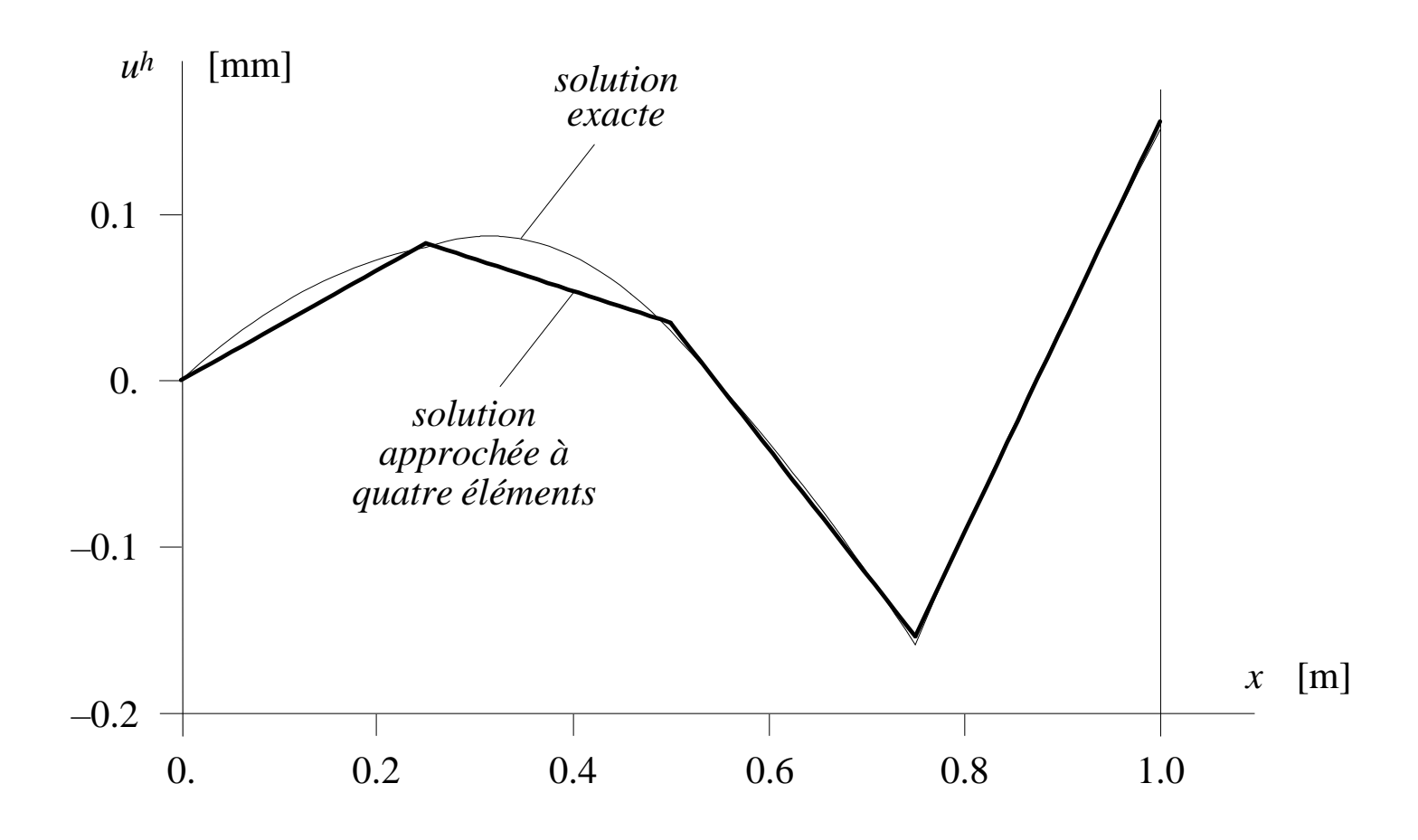
Coefficient de charge $\rho = 1.10^8 \text{N/m}^2$

Charge linéique q = 20 kN/m

• Force ponctuelle interne Q = 50 kN

Force à l'extrémité libre $\,P$ = 25 kN





01/11/2018 -72-

- Discussion des résultats et commentaires
 - Solutions nodales précises, mais différentes des valeurs exactes



Perte de la superconvergence en raison du terme ρu

- Condition aux limites naturelle approchée en $x = \ell$
- Discontinuité de la déformation (pente) du/dx en $x = \ell/4$



Discontinuité du module E (continuité de la contrainte)

Continuité de la déformation (pente) du/dx en $x = \ell/2$



Discontinuité de la charge q n'affectant pas la pente

Discontinuité de la déformation (pente) du/dx en $x = 3\ell/4$



Présence de la force ponctuelle ${\cal Q}$

01/11/2018

-73-

```
% ALLONGEMENT D'UNE BARRE SOUMISE A DES DISCONTINUITES
% Initialisation des variables
close all
clear all
syms E A L xsi le je dxsidx h H B p Q P rho Ke Me K re r
syms Kr rr q
nelem=4;
nnode=nelem+1;
% Test
t=idivide(int32(nelem),int32(4));
if 4*t~=nelem
    warning('nelem non multiple de 4')
    break
end
```

01/11/2018 -74-

```
% Définition des fonctions de base et de leurs dérivées
le=L/nelem;
je=le/2;
dxsidx=2/le;
h(1) = (1-xsi)/2;
h(2) = (1+xsi)/2;
H=[h(1),h(2)];
B=diff(H,xsi)*dxsidx;
% Calcul des matrices élémentaires de rigidité
Ke=int(E*A*(transpose(B)*B)*je,xsi,-1,1)
Me=int(rho*(transpose(H)*H)*je,xsi,-1,1)
% Assemblage des quantités élémentaires
K(1:nnode, 1:nnode) = 0;
for i=1:t
    for j=1:2
        for k=1:2
```

01/11/2018 -75-

```
K(i+j-1,i+k-1)=K(i+j-1,i+k-1)
                                      +2*Ke(j,k)+Me(j,k);
        end
    end
    K
end
for i=t+1:nelem
    for j=1:2
        for k=1:2
            K(i+j-1,i+k-1)=K(i+j-1,i+k-1)
                                      +Ke(j,k)+Me(j,k);
        end
    end
    K
end
```

01/11/2018 -76-

```
% Calcul des vecteurs élémentaire et global des
% charges externes
r(1:nnode)=0;
re=int(H*p*je,xsi,-1,1)
for i=1:nelem/2
    for j=1:2
        r(i+j-1)=r(i+j-1)+4*re(j);
    end
    r
end
for i=nelem/2+1:nelem
    for j=1:2
        r(i+j-1)=r(i+j-1)+re(j);
    end
    r
end
```

01/11/2018 -77-

```
% Correction du vecteur global des charges externes
r(3*t+1)=r(3*t+1)-Q
r (nnode) = r (nnode) + P
% Réduction du système d'équations
Kr=K(2:nnode,2:nnode)
rr=r(2:nnode)
% Application numérique
L=1
A=100*(10^{(-6)})
E=2.1*(10^11)
rho=1*(10^8)
p=20000
Q=50000
P = 25000
```

01/11/2018 -78-

```
% Résolution du système d'équations
Kr=eval(Kr)
rr=eval(rr)
q=inv(Kr)*transpose(rr)
w(1:nnode)=0;
for i=2:nnode
    w(i)=q(i-1);
end
y=[0:1/nelem:1];
plot(y,1000*w)
xlabel('x/L');
ylabel('u [mm]');
```

moodle.epfl.ch : <u>discont.m</u> ⇒ \MATLAB\work

01/11/2018 -79-